

Практическое задание 2. ЕМ алгоритм для детектива

Янаков Дмитрий Спартакович, 417 группа

17 ноября, 2022

1 Теория

1.1 Апостериорное распределение на координаты лица

$$q(\mathbf{d}) = p(\mathbf{d} \mid \mathbf{X}, \boldsymbol{\theta}, \mathbf{A}) = \prod_k p(\mathbf{d}_k \mid \mathbf{X}_k, \boldsymbol{\theta}, \mathbf{A})$$
$$p(\mathbf{d}_k \mid \mathbf{X}_k, \boldsymbol{\theta}, \mathbf{A}) = \frac{p(\mathbf{d}_k, \mathbf{X}_k, \boldsymbol{\theta}, \mathbf{A})}{p(\mathbf{X}_k, \boldsymbol{\theta}, \mathbf{A})} = \frac{p(\mathbf{X}_k \mid \mathbf{d}_k, \boldsymbol{\theta}) p(\mathbf{d}_k \mid \mathbf{A})}{p(\mathbf{X}_k, \boldsymbol{\theta}, \mathbf{A})} = \frac{p(\mathbf{X}_k \mid \mathbf{d}_k, \boldsymbol{\theta}) p(\mathbf{d}_k \mid \mathbf{A})}{\sum_{\hat{\mathbf{d}}_k} p(\mathbf{X}_k \mid \hat{\mathbf{d}}_k, \boldsymbol{\theta}) p(\hat{\mathbf{d}}_k \mid \mathbf{A})}$$

1.2 Точечные оценки на параметры

$$\mathbb{E}_{q(\mathbf{d})} \log p(\mathbf{X}, \mathbf{d} \mid \boldsymbol{\theta}, \mathbf{A}) = \sum_{\mathbf{d}} q(\mathbf{d}) \log p(\mathbf{X}, \mathbf{d} \mid \boldsymbol{\theta}, \mathbf{A}) = \sum_{\mathbf{d}} q(\mathbf{d}) \sum_k \log [p(\mathbf{X}_k \mid \mathbf{d}_k, \boldsymbol{\theta}) p(\mathbf{d}_k \mid \mathbf{A})]$$

Через $q(\mathbf{d}_k)$ далее будем обозначать $p(\mathbf{d}_k \mid \mathbf{X}_k, \boldsymbol{\theta}, \mathbf{A})$.

1.2.1 A

Составим Лагранжиан:

$$L = \sum_{\mathbf{d}} \sum_k q(\mathbf{d}) \log p(\mathbf{X}_k \mid \mathbf{d}_k, \boldsymbol{\theta}) + \sum_{\mathbf{d}} \sum_k q(\mathbf{d}) \log p(\mathbf{d}_k \mid \mathbf{A}) + \lambda \left(\sum_{ij} A(i, j) - 1 \right)$$
$$\frac{\partial L}{\partial A(i, j)} = \lambda + \sum_{\mathbf{d}} \sum_k \frac{1}{A(i, j)} q(\mathbf{d}) [\mathbf{d}_k^h = i] [\mathbf{d}_k^w = j] = \lambda + \sum_k \frac{1}{A(i, j)} q(\mathbf{d}_k) = 0$$
$$\implies A(i, j) = -\frac{1}{\lambda} \sum_k q(\mathbf{d}_k)$$

Подставим полученное $A(i, j)$ в уравнение связи:

$$-\sum_{ij} \frac{1}{\lambda} \sum_k q(\mathbf{d}_k) = 1$$
$$\implies \lambda = -\sum_k \sum_{ij} q(\mathbf{d}_k) = -\sum_k 1 = -K$$
$$\implies A(i, j) = \frac{\sum_k q(\mathbf{d}_k)}{K}$$

В случае MAP-ЕМ алгоритма оценка имеет следующий вид:

$$A(i, j) = \frac{\sum_k q(\mathbf{d}_k) [\mathbf{d}_k = (i, j)]}{K}$$

1.2.2 F

$$\begin{aligned}
L &= \sum_d \sum_k q(\mathbf{d}) \log p(\mathbf{X}_k | \mathbf{d}_k, \boldsymbol{\theta}) + \sum_d \sum_k q(\mathbf{d}) \log p(\mathbf{d}_k | \mathbf{A}) \\
&= \sum_d \sum_k q(\mathbf{d}) \log \mathcal{N}(\mathbf{X}_k(i, j) | \mathbf{F}(i - d_k^h, j - d_k^w), s^2) + \sum_d \sum_k q(\mathbf{d}) \log p(\mathbf{d}_k | \mathbf{A})
\end{aligned}$$

Нормальное распределение имеет следующий вид:

$$\mathcal{N}(\mathbf{X}_k(i, j) | \mathbf{F}(i - d_k^h, j - d_k^w), s^2) = \frac{1}{s\sqrt{2\pi}} \exp\left(-\frac{(\mathbf{X}_k(i, j) - \mathbf{F}(i - d_k^h, j - d_k^w))^2}{2s^2}\right)$$

Тогда:

$$\begin{aligned}
\frac{\partial L}{\partial \mathbf{F}(i, j)} &= \sum_{d_k} \sum_k \frac{\mathbf{X}_k(i + d_k^h, j + d_k^w) - \mathbf{F}(i, j)}{s^2} q(\mathbf{d}_k) + \frac{\partial}{\partial \mathbf{F}(i, j)} f(\mathbf{d}, s, \mathbf{A}) = 0 \\
\Rightarrow \mathbf{F}(i, j) &= \frac{\sum_{d_k} \sum_k q(\mathbf{d}_k) \mathbf{X}_k(i + d_k^h, j + d_k^w)}{\sum_{d_k} \sum_k q(\mathbf{d}_k)} = \frac{\sum_{d_k} \sum_k q(\mathbf{d}_k) \mathbf{X}_k(i + d_k^h, j + d_k^w)}{K}
\end{aligned}$$

В случае MAP-EM алгоритма оценка имеет следующий вид:

$$\mathbf{F}(i, j) = \frac{\sum_k q(\mathbf{d}_k) \mathbf{X}_k(i + i_k^*, j + j_k^*)}{K},$$

где (i_k^*, j_k^*) – точка, в которой $q(\mathbf{d}_k) = 1$.

1.2.3 B

Оценка на \mathbf{B} выводится аналогично \mathbf{F} за тем лишь исключением, что вместо $\mathcal{N}(\mathbf{X}_k(i, j) | \mathbf{F}(i - d_k^h, j - d_k^w), s^2)$ используется $\mathcal{N}(\mathbf{X}_k(i, j) | \mathbf{B}(i, j), s^2)$ и дополнительно навешивается условие того, что $(i, j) \notin \text{faceArea}(\mathbf{d}_k)$.

Получаем, что:

$$\mathbf{B}(i, j) = \frac{\sum_{d_k: (i, j) \notin \text{faceArea}(\mathbf{d}_k)} \sum_k q(\mathbf{d}_k) \mathbf{X}_k(i, j)}{\sum_{d_k: (i, j) \notin \text{faceArea}(\mathbf{d}_k)} \sum_k q(\mathbf{d}_k)}$$

MAP-EM оценка выписывается аналогично.

1.2.4 s^2

$$L = \sum_d \sum_k q(\mathbf{d}) \log p(\mathbf{X}_k | \mathbf{d}_k, \boldsymbol{\theta}) + \sum_d \sum_k q(\mathbf{d}) \log p(\mathbf{d}_k | \mathbf{A})$$

Вывод аналогичен выводу \mathbf{F} и \mathbf{B} , только теперь в $p(\mathbf{X}_k | \mathbf{d}_k, \boldsymbol{\theta})$ учитываются оба нормальных распределения.

$$\begin{aligned}
s^2 &= \frac{1}{HWK} \sum_k \sum_{d_k} q(\mathbf{d}_k) \left(\sum_{(i, j) \in \text{faceArea}(\mathbf{d}_k)} (\mathbf{X}_k(i, j) - \mathbf{F}(i - d_k^h, j - d_k^w))^2 \right) + \\
&\quad + \sum_{(i, j) \notin \text{faceArea}(\mathbf{d}_k)} (\mathbf{X}_k(i, j) - \mathbf{B}(i, j))^2
\end{aligned}$$

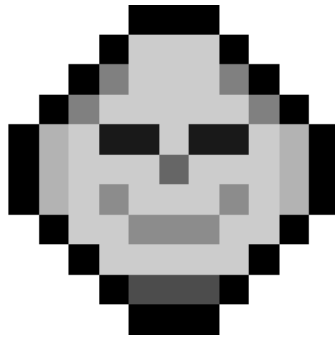
Множитель HWK получается при суммировании по всем (i, j) и умножении на $\sum_k \sum_{d_k} q(\mathbf{d}_k) = K$.

MAP-EM оценка выписывается аналогично.

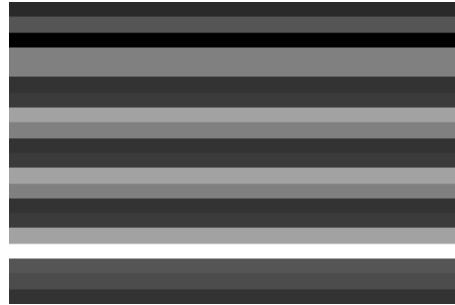
2 Анализ

2.1 Исходные данные

Данные, используемые далее для экспериментов, приведены ниже.



(a) Лицо. Размер: 11×13



(b) Фон. Размер: 20×30

Рис. 1: Исходные данные

2.2 Влияние начального приближения

Выясним, сильно ли влияет начальное приближение на параметры на результаты работы алгоритма. Для этого, зафиксируем количество изображений $K = 500$ и стандартное отклонение шума $s = 125$ и посмотрим на выдаваемые результаты.



Рис. 2: Результаты работы алгоритма: лица

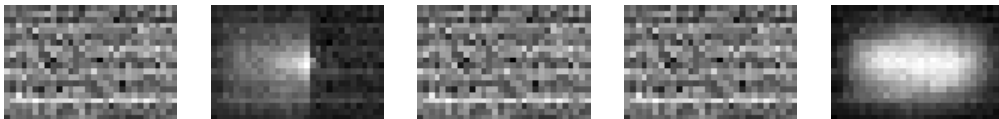


Рис. 3: Результаты работы алгоритма: фоны

Можно заметить, что вывод не всегда тот, который хотелось бы увидеть, поэтому для данной задачи стоит запускать ЕМ-алгоритм из разных начальных приближений.

2.3 Влияние размера выборки и уровня шума

Выберем следующие шумы $s = 125, 250, 500$ и рассмотрим результаты (результатом в данном случае будем считать наилучший вывод при 5 запусках) при разных размерах выборок $K = 100, 250, 500, 750, 1000$.

Лица на рисунках ниже изображены сверху, фоны – снизу.

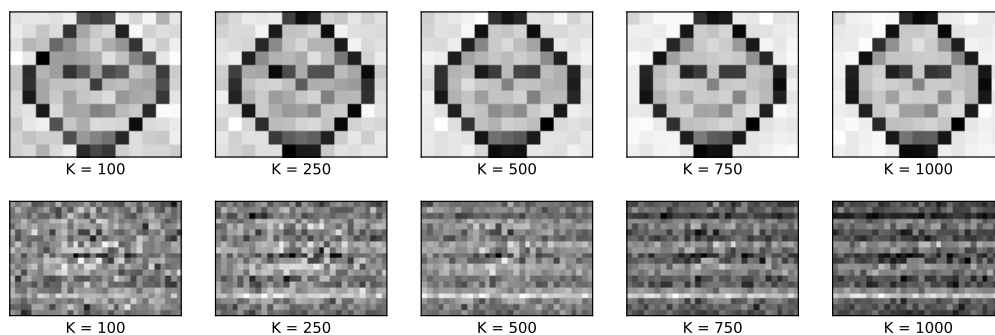


Рис. 4: $s = 125$

Для $s = 125$ алгоритм уже неплохо справляется при количестве изображений, равном 250. При 100 изображениях достаточно хорошо видны черты лица.

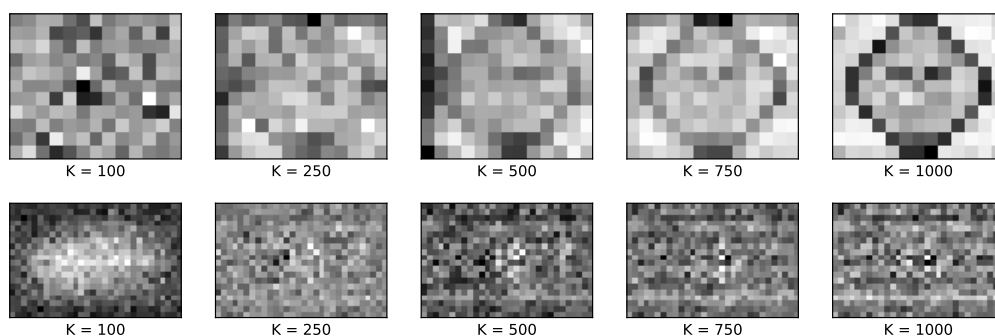


Рис. 5: $s = 250$

В случае $s = 250$ для хорошего распознавания требуется выборка большей размерности, а именно: при 1000 – почти хорошо видно лицо, при 750 – слегка начинают проявляться черты лица.

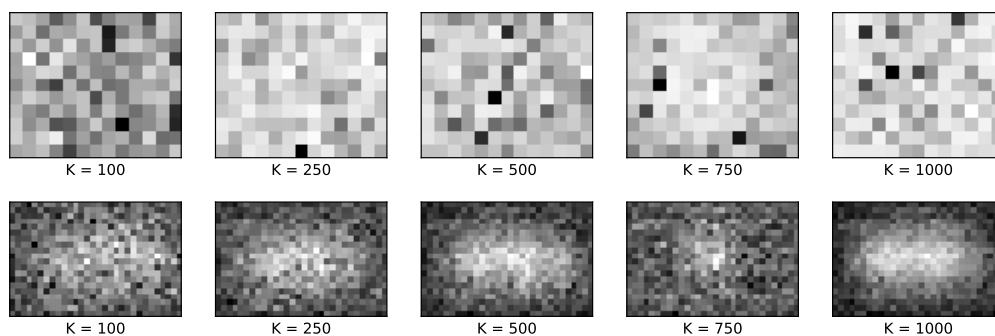


Рис. 6: $s = 500$

Однако, при $s = 500$ алгоритм уже не справляется с данной задачей даже при $K = 1000$. Видно, что получаемый результат невозможно интерпретировать.

Аналогичные утверждения справедливы и для фона.

Отсюда можно сделать вывод, что при ограниченном количестве изображений и достаточно большом уровне шума (в данном случае этот порог лежит в диапазоне (250, 500]) ЕМ-алгоритм перестает выдавать вменяемые результаты.

Рассмотрим как изменения в обучающей выборке влияют на нижнюю оценку на логарифм неполного правдоподобия $\mathcal{L}(q, \theta, A)$. Для этого рассмотрим больше значений K при фиксированном уровне шума $s = 250$:

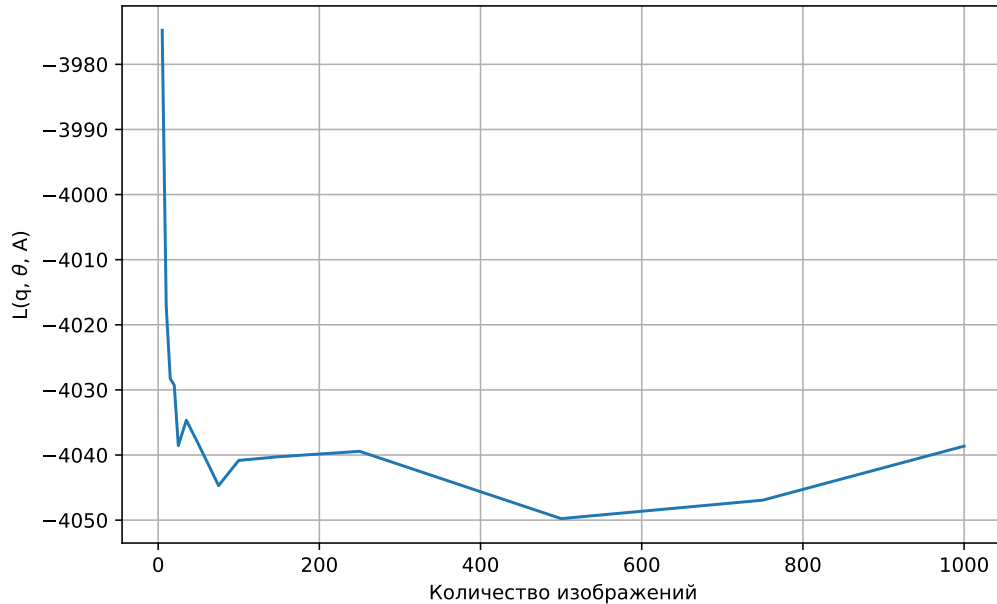


Рис. 7: Зависимость $\mathcal{L}(q, \theta, A)$ от K при $s = 250$

Видно, что при достаточно малом количестве изображений $\mathcal{L}(q, \theta, A)$ принимает высокие значения. Затем, с добавлением новых изображений, график выходит на плато, немного осциллируя.

2.4 ЕМ и hard ЕМ

Сравним качество и время работы ЕМ и hard ЕМ алгоритмов на сгенерированных данных при $K = 100, 250, 500, 750, 1000$ и $s = 100, 150$. Усреднение по времени производим по 10 запускам.

$s = 100$	$K = 100$	$K = 250$	$K = 500$	$K = 750$	$K = 1000$
ЕМ	0.2322	0.6563	1.3086	1.8351	2.6202
hard ЕМ	0.1070	0.3389	0.6183	0.8699	1.3096
$s = 150$	$K = 100$	$K = 250$	$K = 500$	$K = 750$	$K = 1000$
ЕМ	0.2331	0.6265	1.2933	1.8785	2.6763
hard ЕМ	0.1182	0.3129	0.7594	0.8701	1.2400

Таблица 1: Время работы ЕМ и hard ЕМ при разных s и K

Можно заметить, что во всех случаях hard ЕМ работает быстрее, чем ЕМ. Связано это с тем, что в hard ЕМ участвует не все апостериорное распределение, а лишь одна точка – в которой достигается максимум вероятности, следовательно, уменьшается количество операций.

Рассмотрим результаты, выдаваемые алгоритмами. Сверху – выводы ЕМ, снизу – hard ЕМ.

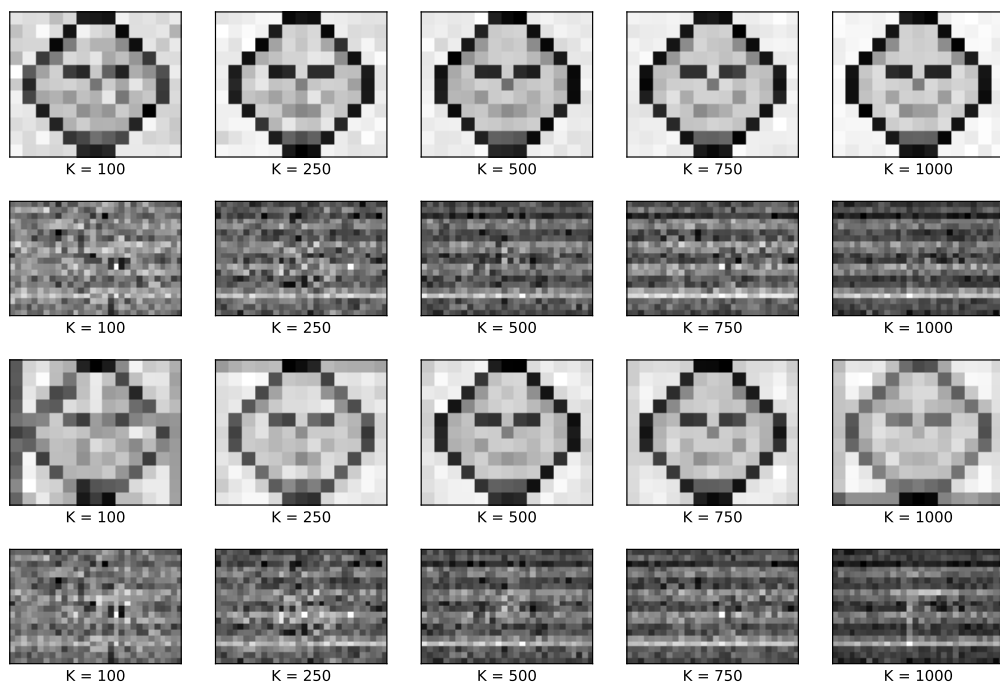


Рис. 8: $s = 100$

При $s = 100$ оба алгоритма достаточно неплохо справились со своей задачей, однако качество EM все-таки лучше.

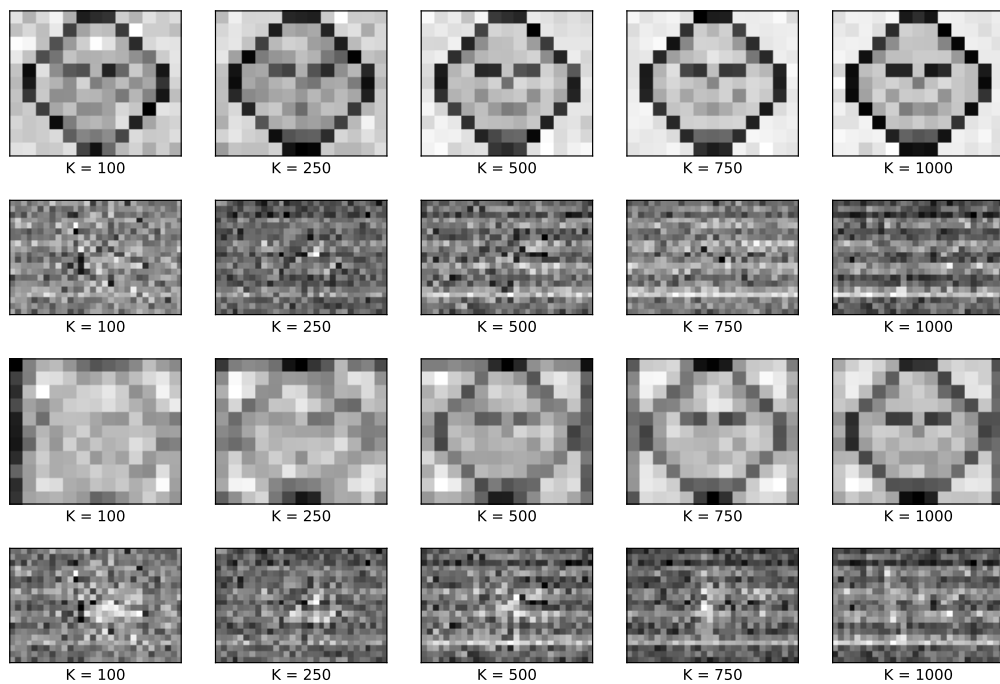


Рис. 9: $s = 100$

При $s = 150$ EM-алгоритм так же хорошо справляется, как и при $s = 100$, в то время, как качество hard EM понизилось.

Отсюда можно сделать вывод, что качество EM-алгоритма лучше, чем качество hard EM (особенно это видно при большом уровне шума), однако второй алгоритм работает быстрее первого.

2.5 Выявление преступника

Применим ЕМ-алгоритм к данным с зашумленными снимками преступника при разных значениях размера выборки K :

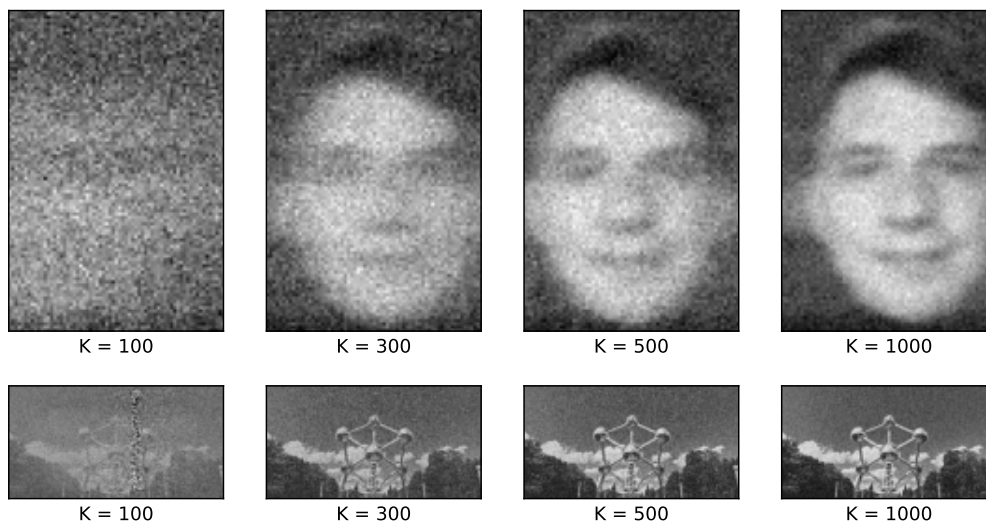


Рис. 10: Преступник и место происшествия

Вероятно, преступником является Сергей Трошин из Bayes Group.

2.6 Модификация алгоритма

2.6.1 Модификация 1: ускорение работы

В качестве модификации полученного ЕМ-алгоритма можно предложить следующее: после Е-шага преобразовать $q(\mathbf{d})$ так, что для каждого изображения X_k оценка $q(\mathbf{d}_k)$ принимает значение, не равное нулю, только в N точках - точках, в которых апостериорное распределение $p(\mathbf{d}_k | X_k, \theta, A)$ принимает наибольшие значения, а в $q(\mathbf{d})$ эти вероятности будут пропорциональны исходным вероятностям.

В таком случае, алгоритм должен работать быстрее ЕМ, но медленнее hard ЕМ, однако его качество будет лучше hard ЕМ.

N является гиперпараметром и настраивается отдельно для каждой задачи.

2.6.2 Модификация 2: улучшение качества

Также, для улучшения работы алгоритма, можно воспользоваться специальными фильтрами, которые очищают изображение от шума: медианный фильтр, фильтры, управляющие величиной коррекции и т.д.

Воспользоваться этим можно следующим образом: во время работы алгоритма при получении очередного параметра F и B , применять к нему соответствующий фильтр и подавать на следующую итерацию. Однако, делать это надо после какой-то определенной итерации, чтобы не потерять основную информацию на первых этапах.

Возможно, данная модификация сможет повысить качество ЕМ-алгоритма, хоть, и очевидно, работать она будет дольше.